#### 1. Conceitos fundamentais

# Constituição e Diagramas de Fases

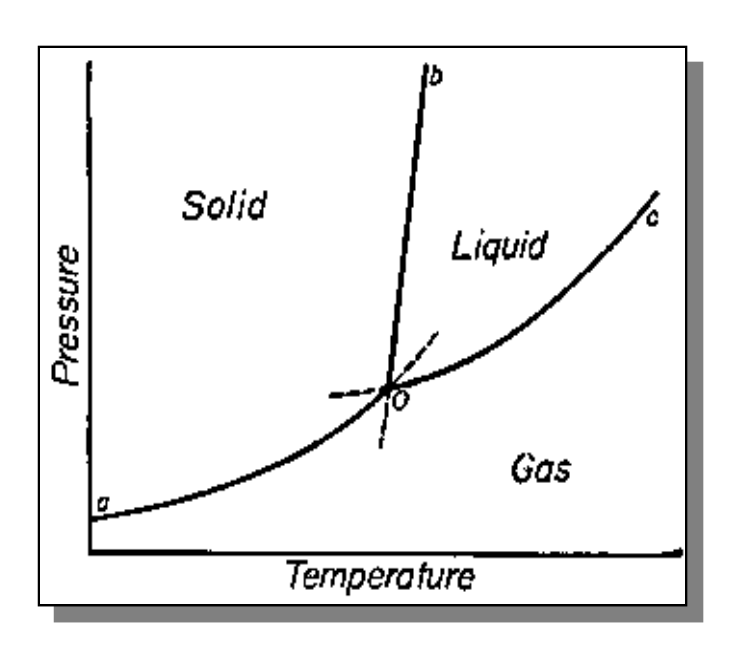
#### DIAGRAMA

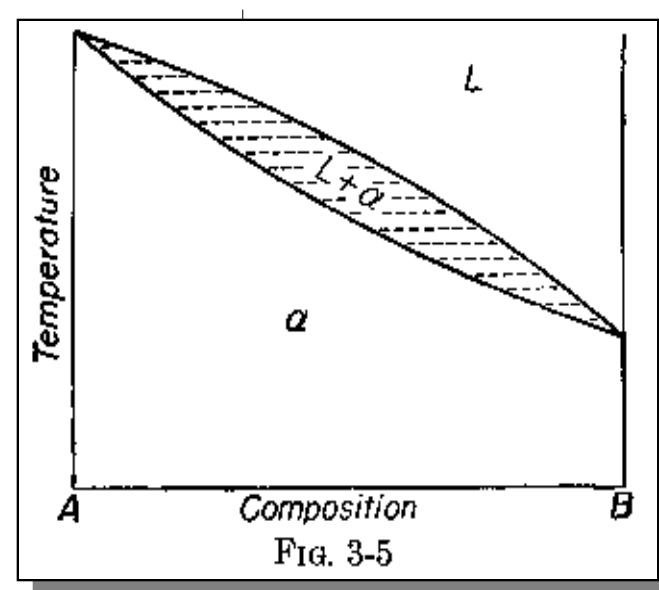


# Variáveis termodinâmicas

- •Pressão
- •Temperatura
- Composição

# FASE —





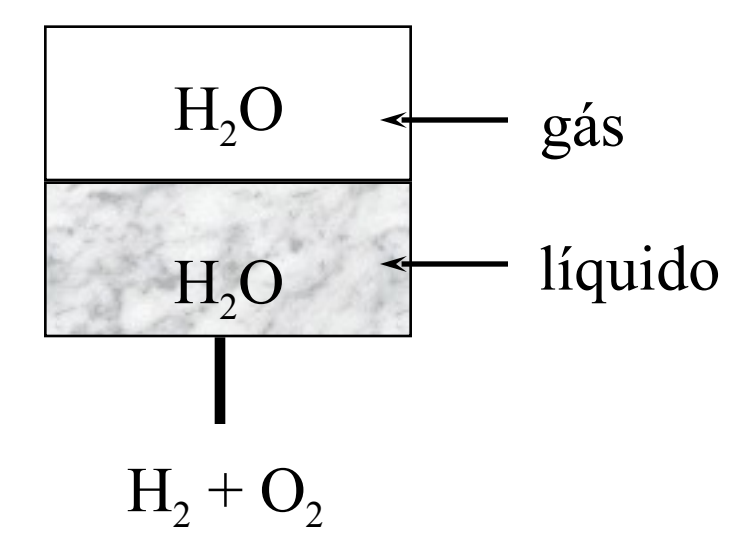
# CONSTITUIÇÃO



- •Calor específico, entalpia, entropia
- •Energia livre
- •EQUILÍBRIO

(tempo?!? materiais na engenharia?!?)

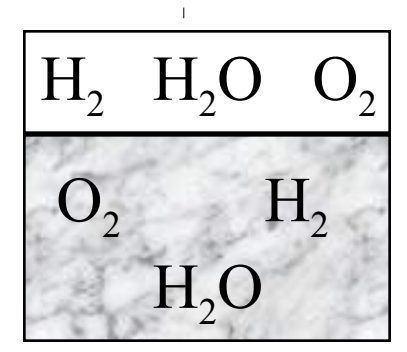
# COMPONENTE (≠ ELEMENTO?)



$O_2$	$H_2O$ $H_2$
$H_2$	$H_2O$ $O_2$

baixa T

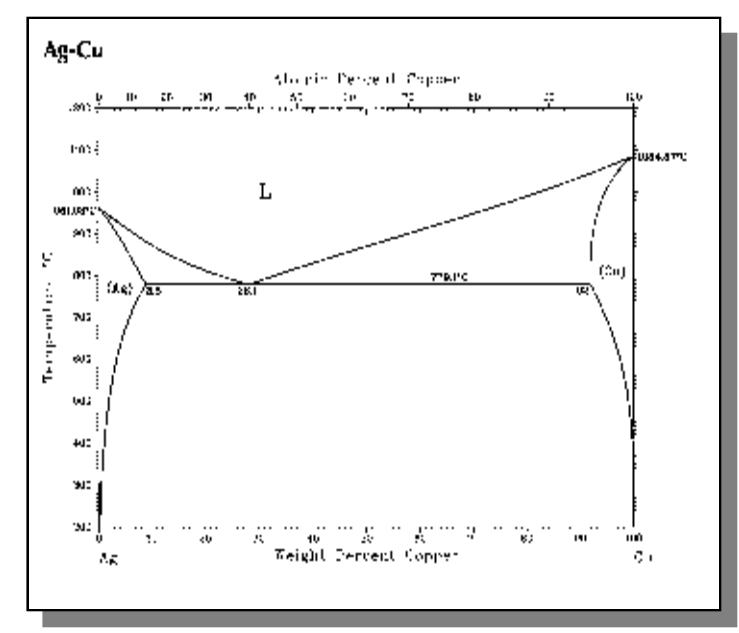
- •2 elementos
- •3 componentes



alta T

- •2 elementos
- •2 componentes

$$H_2 + 1/2 O_2 = H_2O$$



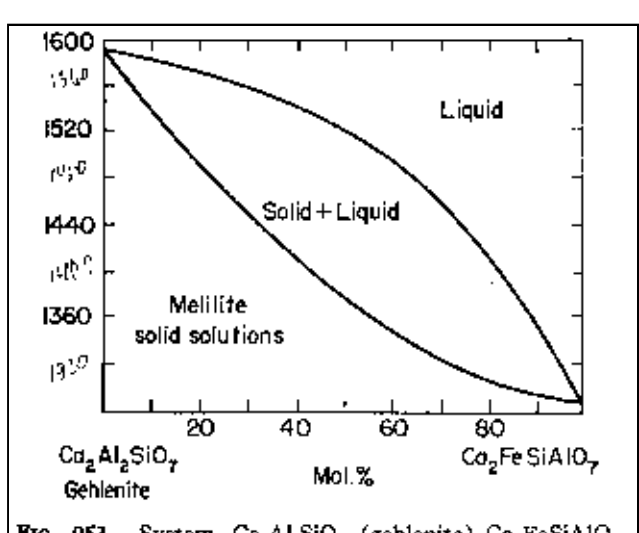


Fig. 953.—System Ca<sub>2</sub>Al<sub>2</sub>SiO<sub>7</sub> (gehlenite)—Ca<sub>2</sub>FeSiAlO<sub>7</sub>. R. W. Nurse and H. G. Midgley, J. Iron Steel Inst. (London), 174, 124 (1953).

### Fase

é qualquer porção homogênea de um sistema.

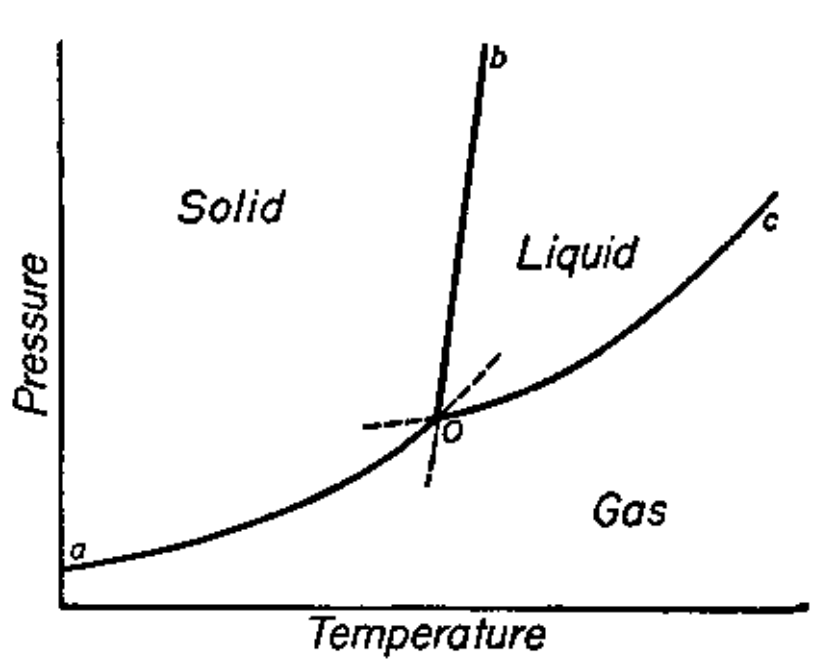
Diferentes porções homogêneas à mesma temperatura, pressão e composição como gotas ou grãos, são consideradas como a mesma fase.

# Componente

o número de componentes de um sistema é o menor número de variáveis constituintes independentes através das quais a composição de cada fase envolvida no equilíbrio pode ser expressa.

# 2. Estabilidade das fases formadas por uma substância pura





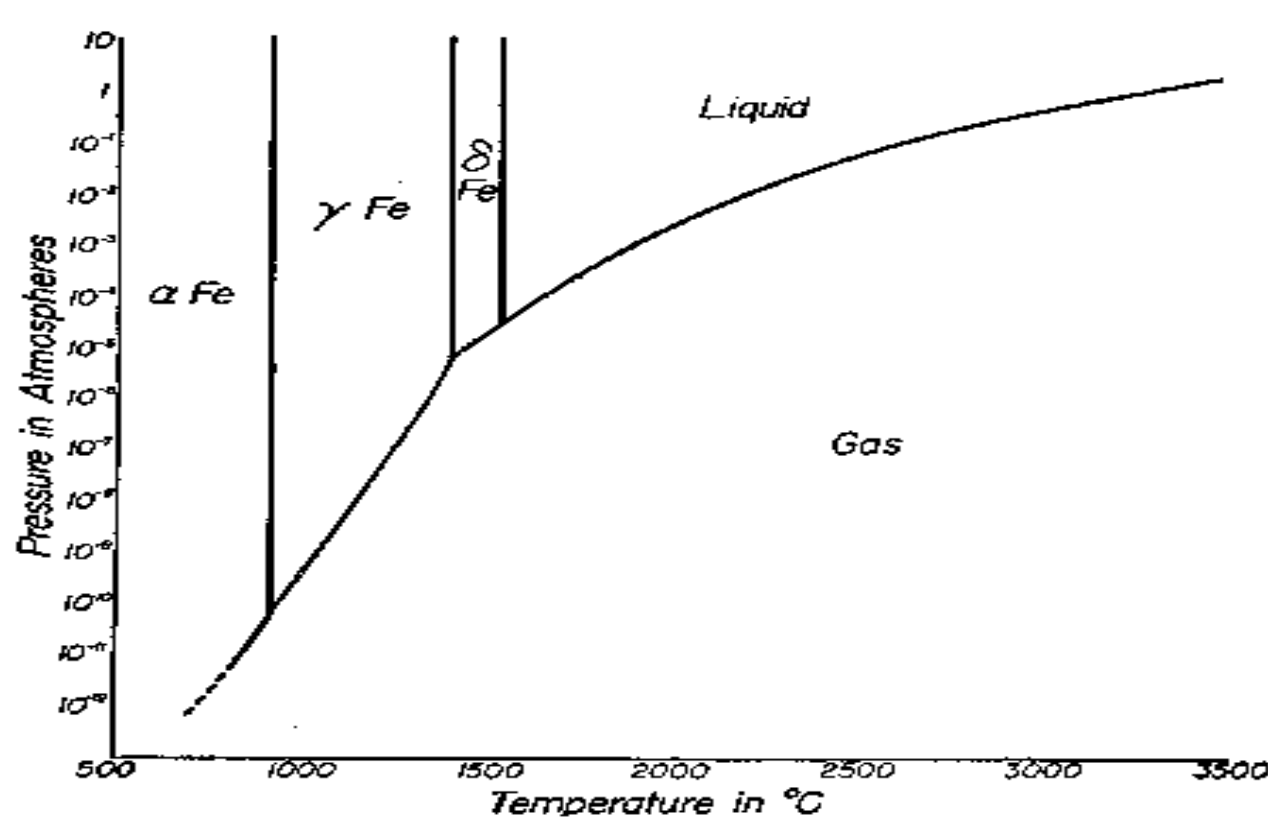


Fig. 2-4. Estimated pressure-temperature diagram of iron.

#### 2. Estabilidade das fases formadas por uma substância pura

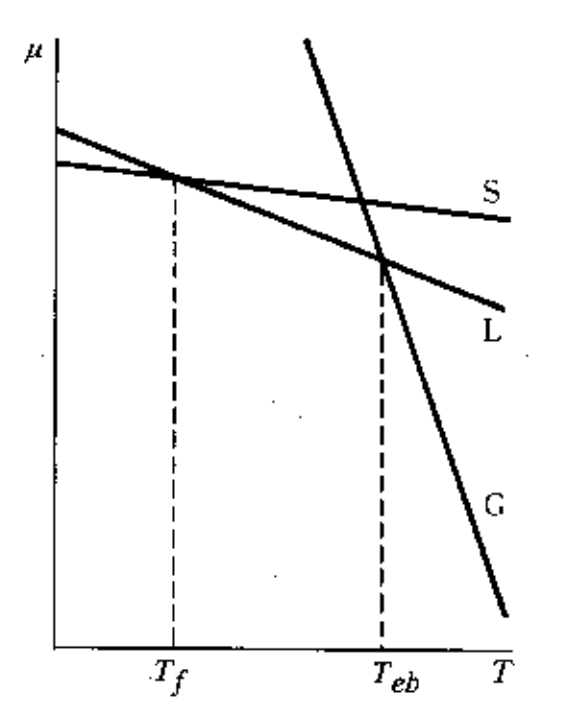
$$dG = -SdT + Vdp \quad \Rightarrow \quad (\div \mathbf{n}) \quad \Rightarrow \quad d\mu = -\overline{S}dT + \overline{V}dp$$

$$\left(\frac{d\mu}{dT}\right)_{p} = -\overline{S} \qquad \mathbf{e} \qquad \left(\frac{d\mu}{dp}\right)_{T} = \overline{V}$$

### O gráfico de $\mu$ em função de T a p constante

$$\left(\frac{d\mu_{S}}{dT}\right)_{p} = -\overline{S}_{S}; \quad \left(\frac{d\mu_{L}}{dT}\right)_{p} = -\overline{S}_{L}; \quad \left(\frac{d\mu_{G}}{dT}\right)_{p} = -\overline{S}_{G}$$

$$\overline{S}_{G} >> \overline{S}_{L} > \overline{S}_{S}$$



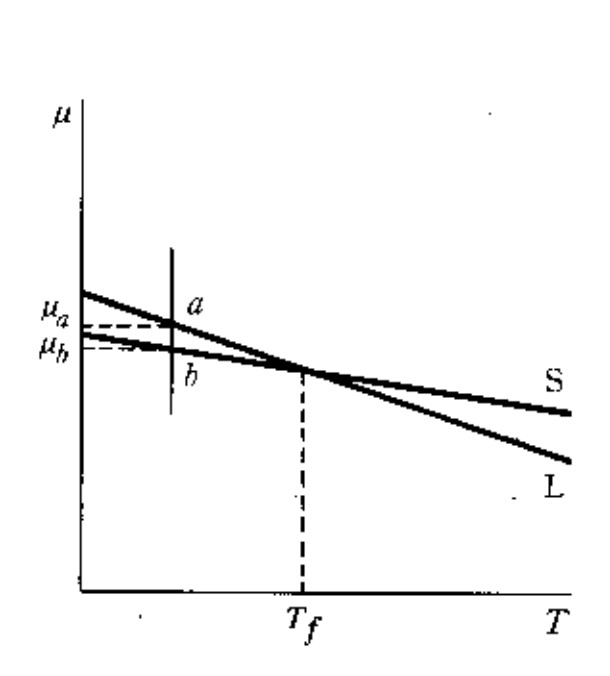


Fig. 12.1  $\mu$  contra T, a pressão constante.

Fig. 12.2  $\mu$  contra T, a pressão constante.

A fase com menor G é a mais estável.

Condições de equilíbrio:  $\mu_S = \mu_L$  e  $\mu_L = \mu_G$ 

$$\mu_S = \mu_L$$
 e  $\mu_L = \mu_C$ 

# 3. Variação das curvas $\mu=\mu(T)$ com a pressão

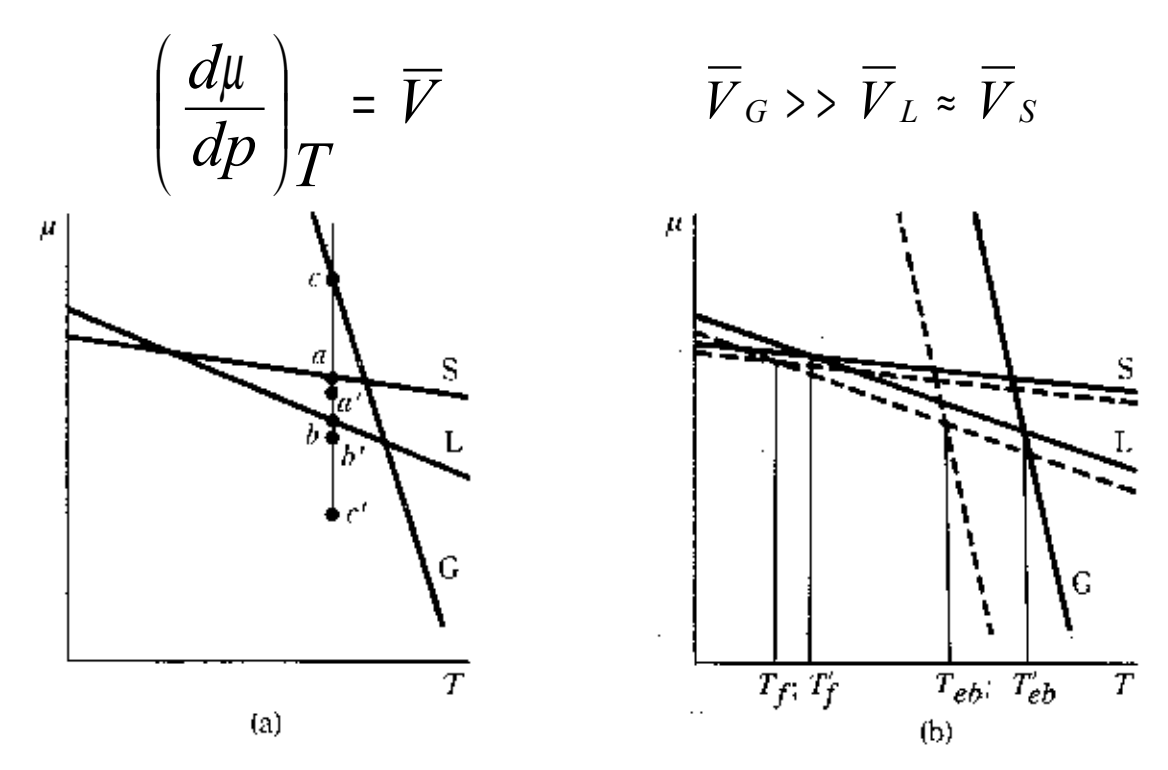
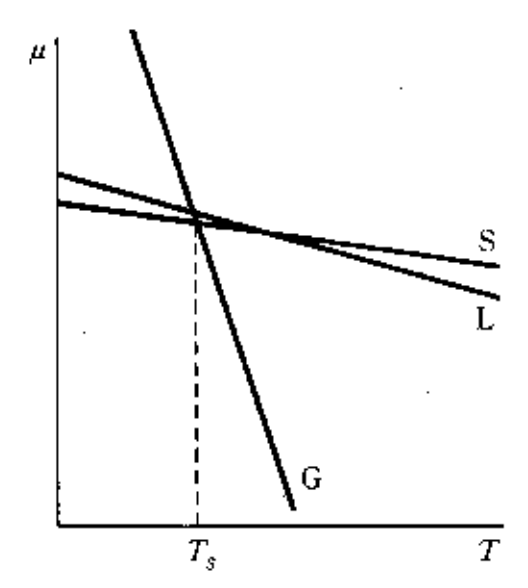


Fig. 12.3 Efeito da pressão nos pontos de fusão e ebulição. As linhas contínuas correspondem a uma pressão alta e as tracejadas a uma pressão baixa.

Ponto triplo:  $\mu_S = \mu_L = \mu_G$ 



Metal	As	Ba	Ca	Cu	Fe	Pb
T (°C)	814	704	850	1083	1535	327
P (atm)	36	1.10 <sup>-3</sup>	1.10-4	8.10 <sup>-7</sup>	5.10 <sup>-5</sup>	1.10 <sup>-7</sup>
Metal	Mn	Hg	Ni	Pt	Ag	Zn
T (°C)	1240	Hg -38,87 1.10 <sup>-9</sup>	1455	1773	960	419

#### 4. A equação de Clapeyron

A condição de equilíbrio entre duas fases,  $\alpha$  e  $\beta$ , formadas por uma substância pura  $\epsilon$ 

$$\mu_p(T, p) = \mu_p(T, p).$$
 (12.5)

O conhecimento das formas analíticas das funções  $\mu_{\alpha}$  e  $\mu_{\beta}$  permitiria, pelo menos em princípio, a resolução da Eq. (12.5) para

$$T = f(p)$$
 ou  $p = g(T)$ . (12.6a, b)

A Eq. (12.6a) exprime o fato, já ilustrado na Fig. 12.3(b), de que a temperatura de equilíbrio depende da pressão.

Na ausência deste conhecimento detalhado das funções  $\mu_{\alpha}$  e  $\mu_{\beta}$ , é possível obter um valor para a derivada da temperatura relativamente à pressão. Consideremos o equilíbrio entre duas fases  $\alpha$  e  $\beta$  sob a pressão p; a temperatura de equilíbrio é T. Então, a T e p, temos

$$\mu_{z}(T, p) = \mu_{\theta}(T, p).$$
 (12.7)

Se a pressão variar para p+dp, a temperatura de equilibrio passa a ser T+dT e o valor de cada  $\mu$  muda para  $\mu+d\mu$ . Por conseguinte, a T+dT e p+dp, a condição de equilibrio é

$$\mu_{g}(T, p) + d\mu_{g} = \mu_{g}(T, p) + d\mu_{g}.$$
 (12.8)

Subtraindo a Eq. (12.7) da Eq. (12.8), obtemos

$$d\mu_a = d\mu_\theta. \tag{12.9}$$

Explicitando cada  $d\mu$  em termos de dp e dT mediante a equação fundamental, Eq. (12.1):

$$d\mu_{\alpha} = -\bar{S}_{\alpha} dT + \bar{V}_{\alpha} dp \qquad d\mu_{\beta} = -\bar{S}_{\beta} dT + \bar{V}_{\beta} dp. \qquad (12.10)$$

Introduzindo a Eq. (12.10) na Eq. (12.9), obtemos

$$-\bar{S}_{\alpha} dT + \bar{V}_{\alpha} dp = -\bar{S}_{\beta} dT + \bar{V}_{\beta} dp.$$

Recompondo,

$$(\overline{S}_{\beta} - \overline{S}_{z}) dT = (\overline{V}_{\beta} - \overline{V}_{z}) dp. \tag{12.11}$$

Se a transformação for  $\alpha \to \beta$ , então  $\Delta S = \overline{S}_{\beta}$   $\overline{S}_{\alpha}$  e  $\Delta V = \overline{V}_{\beta} - \overline{V}_{\alpha}$ , ficando a Eq. (12.11) na forma

$$\frac{dT}{dp} = \frac{\Delta V}{\Delta S}$$
 ou  $\frac{dp}{dT} = \frac{\Delta S}{\Delta V}$ . (12.12a, b)

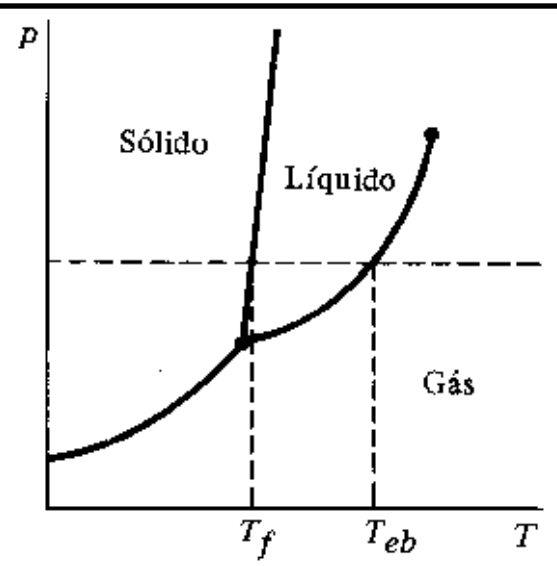
Qualquer das Eqs. (12.12) é chamada de equação de Clapeyron.

A equação de Clapeyron apresenta interesse fundamental ao se discutir o equilíbrio entre duas fases de uma substância pura. Notemos que o primeiro membro da equação é uma derivada ordinária e não parcial. A razão disto é esclarecida pelas Eqs. (12.6).

A Fig. 12.3(b) mostra que as temperaturas de equilibrio dependem da pressão, pois a posição do ponto de interseção depende da pressão. A equação de Clapeyron mostra a dependência quantitativa da temperatura de equilíbrio com a pressão, Eq. (12.12a), ou a variação na pressão de equilíbrio com a temperatura, Eq. (12.12b). Essa equação permite esquematizar o diagrama da pressão de equilíbrio em função da temperatura para qualquer transformação de fase.

#### 4. A equação de Clapeyron

$$\frac{dp}{dT} = \frac{\Delta S}{\Delta V}$$



# O equilíbrio sólido - líquido

$$\Delta S_{\it fus}$$
 é + (8 a 25 J/K mol) e  $\Delta V_{\it fus}$  é + ou - ( $\pm$  1 a  $\pm$  10 cm³/mol)

para  $\Delta S_{fus} = 16 \text{ J/K mol}$  e  $\Delta V_{fus} = \pm 4 \text{ cm}^3/\text{mol}$ 

$$\left(\frac{dp}{dT}\right)_{s-1} = \pm 40 \text{ atm/K} \text{ ou } \left(\frac{dT}{dp}\right)_{s-1} = \pm 0.02 \text{ K/atm}$$

#### O equilíbrio líquido - gás

$$\Delta S_{vap}$$
 é + ( $\approx$  + 90 J/K mol) e  $\Delta V_{vap}$  é + ( $\approx$  20000 cm<sup>3</sup>/mol)

$$\left(\frac{dp}{dT}\right)_{l=0} \approx 0.04 \text{ atm/K}$$

O equilíbrio sólido - gás
$$\Delta S_{sub} \ \acute{e} + \ e \ \Delta V_{sub} \ \acute{e} + \quad \Rightarrow \frac{dp}{dT} = \frac{\Delta S_{sub}}{\Delta V_{sub}}$$

No ponto tríplice,  $\Delta H_{sub} = \Delta H_{fus} + \Delta H_{vap}$ .

$$\left(\frac{dp}{dT}\right)_{l-g} = \frac{\Delta H_{vap}}{T\Delta V} \quad e \quad \left(\frac{dp}{dT}\right)_{s-g} = \frac{\Delta H_{sub}}{T\Delta V}$$

p

374°, 220 atm

#### 5. O diagrama de fases

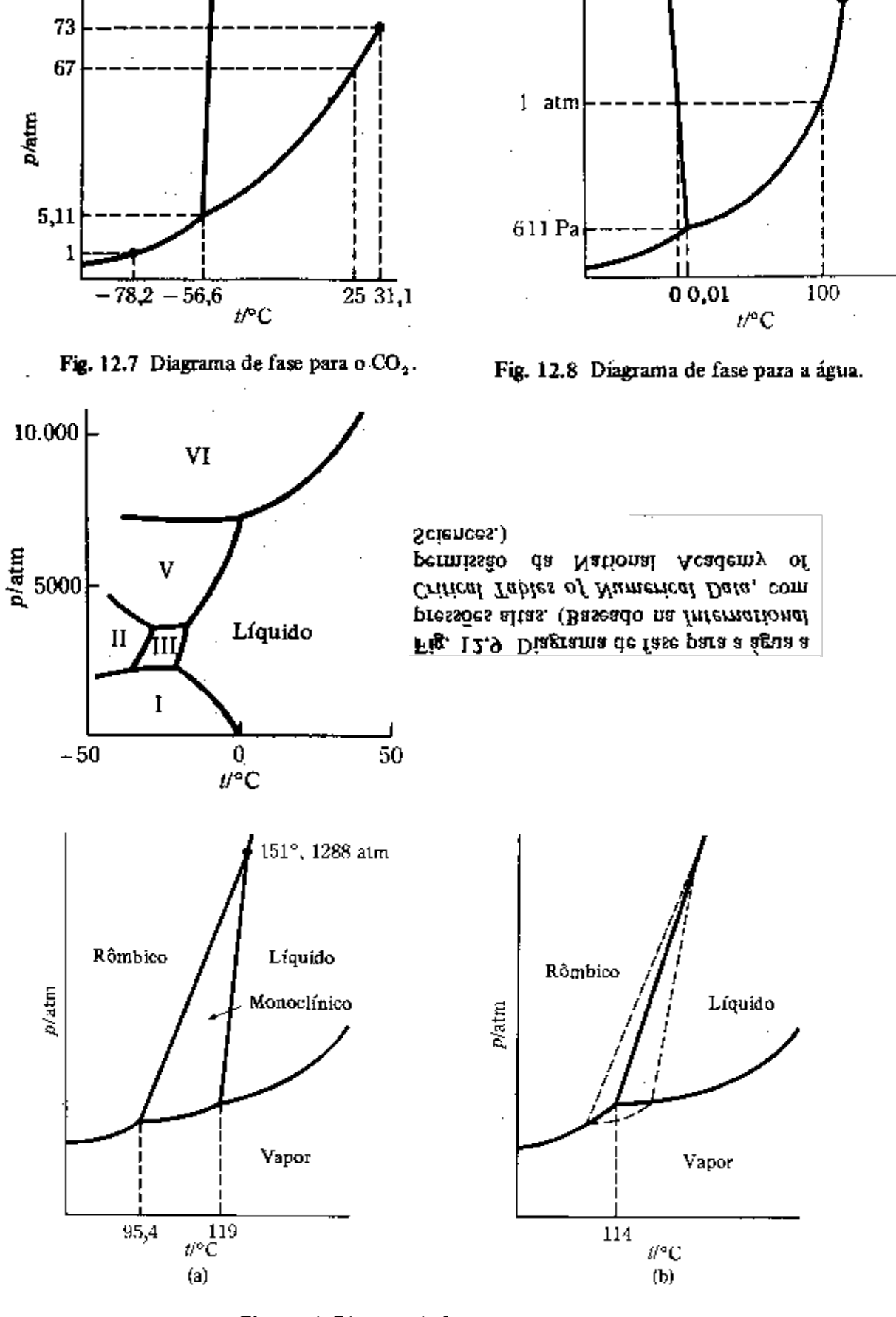


Fig. 12.10 Diagrama de fase para o enxofre.

#### 6. A integração da equação de Clapeyron

$$\frac{dp}{dT} = \frac{\Delta S_{\rm fus}}{\Delta V_{\rm fus}}.$$

Neste caso a equação de Clapeyron fica

Então Então

$$\int_{p_1}^{p_7}\!dp \,=\, \int_{T_f}^{T_f} \! \frac{\Delta H_{\rm fus}}{\Delta V_{\rm fus}} \, \frac{dT}{\tilde{T}} \,, \label{eq:fusion_p_T_fusion}$$

Se  $\Delta H_{\mathrm{fus.}}$  e  $\Delta V_{\mathrm{fus.}}$  forem aproximadamente independentes de T e p, a integração levará a

$$p_2 - p_1 = \frac{\Delta H_{\text{fus}}}{\Delta V_{\text{fus}}} \ln \frac{T_f'}{T_f}, \qquad (12.15)$$

onde  $T_f$  é o ponto de fusão sob a pressão  $p_2$  e  $T_f$  é o ponto de fusão sob a pressão  $p_1$ . Como  $T_f - T_f$  é geralmente muito pequeno, o logaritmo pode ser desenvolvido da seguinte forma:

$$\ln \left(\frac{T_f}{T_f}\right) = \ln \left(\frac{T_f + T_f' - T_f}{T_f}\right) = \ln \left(1 + \frac{T_f' - T_f}{T_f}\right) \approx \frac{T_f' - T_f}{T_f};$$

**assim**, a Eq. (12.15) torna-se

$$\Delta p = \frac{\Delta H_{\text{fus}}}{\Delta V_{\text{fus}}} \frac{\Delta T}{T_{\text{tr}}},\tag{12.16}$$

onde  $\Delta T$  é o aumento do ponto de fusão correspondente ao aumento de pressão  $\Delta p$ .

#### 6. A integração da equação de Clapeyron

#### 12.6.2 Equilíbrio entre a Fase Condensada e o Gás

Para o equilíbrio entre uma fase condensada, sólida ou líquida, com o vapor, temos

$$\frac{dp}{dT} = \frac{\Delta S}{\Delta V} = \frac{\Delta H}{T(\overline{V_g} - \overline{V_c})},$$

onde  $\Delta H$  é o calor de vaporização molar do líquido ou o calor de sublimação do sólido e  $V_c$  é o volume molar do sólido ou do líquido. Na maioria dos casos,  $V_g - V_c \approx \overline{V}_g$  e isto, admitindo-se que o gás seja ideal, equivale a RT/p. Dessa forma, a equação fica

$$\frac{d \ln p}{dT} = \frac{\Delta H}{RT^2},\tag{12.17}$$

que é conhecida por equação de Clausius-Clapeyron. Esta relaciona a pressão de vapor do líquido (ou sólido) com o calor de vaporização (ou sublimação) e a temperatura. Integrando entre dois limites, admitindo que  $\Delta H$  seja independente da temperatura, obtém-se que

$$\int_{p_0}^{p} d \ln p = \int_{T_0}^{T} \frac{\Delta H}{RT^2} dT.$$

$$\ln \frac{p}{p_0} = -\frac{\Delta H}{R} \begin{pmatrix} 1 & 1 \\ T & T_0 \end{pmatrix} = -\frac{\Delta H}{RT} + \frac{\Delta H}{R\bar{T}_0}, \qquad (12.18)$$

onde  $p_0$  é a pressão de vapor a  $T_0$  e p é a pressão de vapor a  $T_0$  (Na Seç. 5.4, esta equação foi deduzida de uma maneira diferente.) Quando  $p_0 = 1$  atm,  $T_0$  é o ponto de ebulição normal do líquido (ou ponto de sublimação normal do sólido). Então,

$$\ln p = \frac{\Delta H}{RT_0} - \frac{\Delta H}{RT}, \qquad \log_{10} p = \frac{\Delta H}{2,303RT_0} - \frac{\Delta H}{2,303RT}. \tag{12.19}$$

De acordo com a Eq. (12.19), se în p ou  $\log_{10} p$  for colocado em função de 1/T, obteremos uma reta de coeficiente angular igual a  $-\Delta H/R$  ou .  $\Delta H/2,303R$ . A interseção em 1/T=0 fornece um valor de  $\Delta H/RT_0$ . Assim, do coeficiente angular e da interseção com o cixo das ordenadas podemos calcular  $\Delta H$  c  $T_0$ . Muitas vezes, os calores de vaporização e sublimação são determinados mediante medidas da pressão de vapor da substância em função da temperatura. A Fig. 12.11 mostra o gráfico de  $\log_{10} p$  em função de 1/T para a água e a Fig. 12.12 para o  $\mathrm{CO}_2$  sólido (gelo seco).

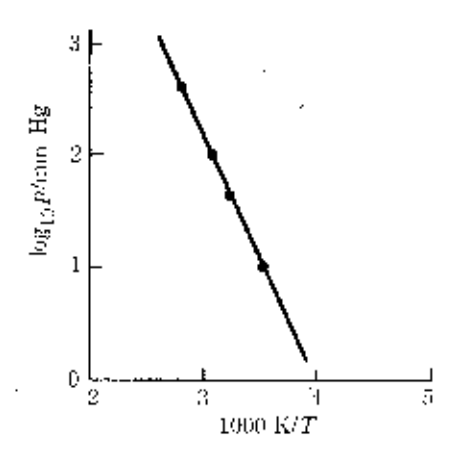


Fig. 12.11  $\log_{10} p/(\text{minHg})$  contra 1/T para a água.

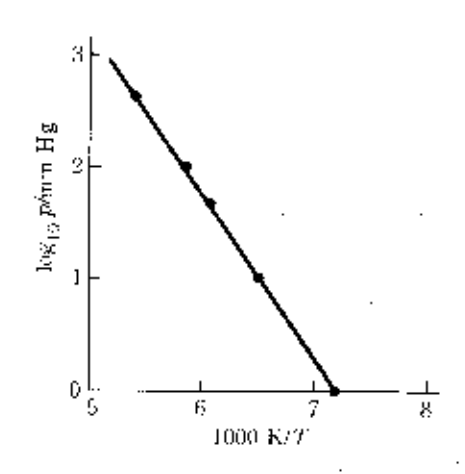


Fig. 12.12 log<sub>10</sub> p/(mmHg) contra 1/T para o CO<sub>2</sub> sólido.

#### 7. Efeito da pressão sobre a pressão de vapor

Na discussão precedente do equilíbrio líquido-vapor admitimos, implicitamente, que as duas fases estavam sob a mesma pressão p. Se, de alguma maneira, for possível manter o líquido sob a pressão P e o vapor sob a pressão p, a pressão do vapor dependerá de P. Suponhamos que o líquido esteja no recipiente da Fig. 12.13. No espaço acima do líquido, o vapor está confinado juntamente com um outro gás insolúvel no líquido. A pressão de vapor p mais a pressão do outro gás somam P, que é a pressão total exercida sobre o líquido. A condição de equilíbrio usual é

$$\mu_{\text{vap}}(T, p) = \mu_{\text{liq.}}(T, P).$$
 (12.20)

A temperatura constante essa equação implica que p = f(P). Para descobrir a funcionalidade, derivamos a Eq. (12.20) respectivamente a P, tendo T constante

$$\left(\frac{\partial \mu_{\text{vap}}}{\partial p}\right)_{T} \left(\frac{\partial p}{\partial P}\right)_{T} = \left(\frac{\partial \mu_{\text{liq}}}{\partial P}\right)_{T}.$$

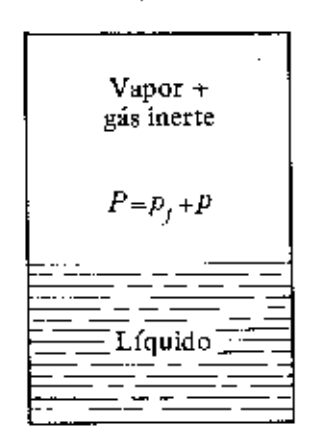


Fig. 12.13

Usando a equação fundamental, Eq. (12.2b), vem que

$$\overline{V}_{\text{vap}} \left( \frac{\partial p}{\partial P} \right)_T = \overline{V}_{\text{liq}} \quad \text{ou} \quad \left( \frac{\partial p}{\partial P} \right)_T = \frac{\overline{V}_{\text{liq}}}{\overline{V}_{\text{vap}}}.$$
(12.21)

A equação de Gibbs, Eq. (12.21), mostra que a pressão de vapor aumenta com a pressão total sobre o líquido; a taxa de aumento é muito pequena, pois  $\overline{V}_{\text{tiq.}}$  é bem menor do que  $\overline{V}_{\text{vaf.}}$ . Se o vapor se comporta idealmente, a Eq. (12.21) pode ser escrita

$$\frac{RT}{p}dp = \overline{V}_{\text{liq}}dP, \qquad RT \int_{p_0}^p \frac{dp}{p} = \overline{V}_{\text{liq}} \int_{p_0}^p dP,$$

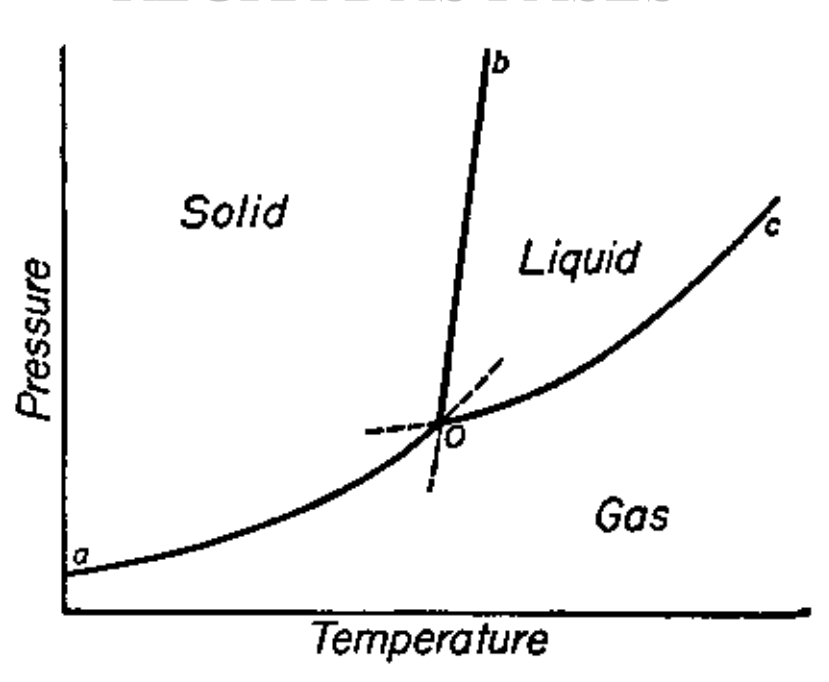
onde p é a pressão de vapor sob a pressão P e  $p_0$  é a pressão de vapor quando o líquido e o vapor estão sob a mesma pressão  $p_0$ , a pressão ortobárica. Assim,

$$RT \ln \left(\frac{p}{p_0}\right) = \overline{V}_{liq}(P - p_0). \tag{12.22}$$

Usaremos as Eqs. (12.21) e (12.22) zo discutirmos a pressão osmótica de uma solução.

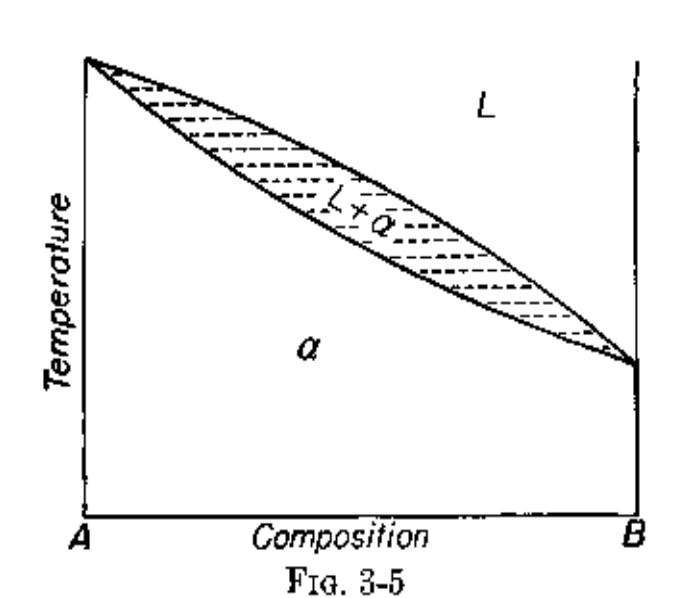
#### 8. A regra das fases

#### **REGRA DAS FASES**



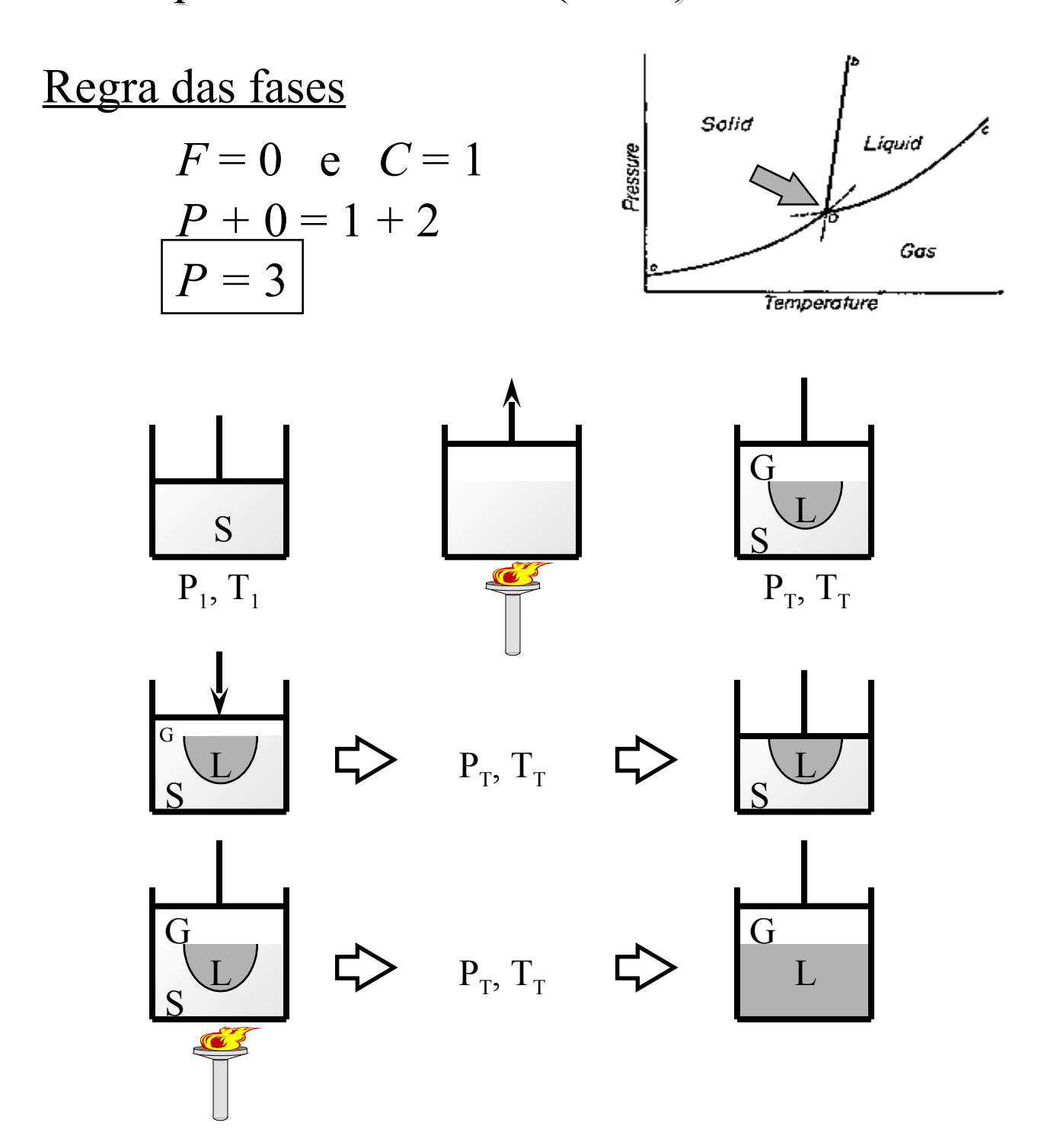
$$P + F = C + 2 \qquad (F = m - n)$$

- P número de fases em equilíbrio (restrições)
- F grau de liberdade
- C número de <u>componentes</u> (+2 = variáveis independentes)



$$P + F = C + 1$$
 (P=const.)

# 8.1 - Equilíbrio Invariante (F = 0)

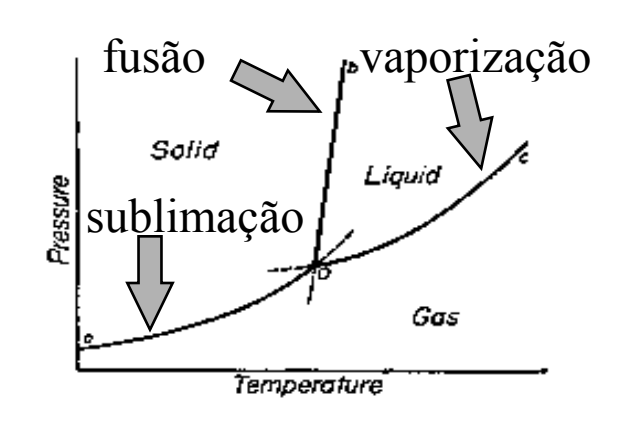


Geral: a regra das fases não está relacionada com as quantidades das fases presentes ou com suas propriedades, mas somente com o número de fases presentes no equilíbrio e com suas composições, temperatura e pressão.

# 8.2 - Equilíbrio Univariante (F = 1)

# Regra das fases

$$F = 1$$
 e  $C = 1$   
 $P + 1 = 1 + 2$   
 $P = 2$ 



#### Formas das curvas

Le Chatelier (qualitativo)

Quando uma ação é exercida sobre o sistema, este varia de forma a anular os efeitos desta ação.

Clapeyron (quantitativo)

$$\frac{\mathrm{d}p}{\mathrm{d}T} = \frac{\Delta H_{\mathrm{tr}}}{T \Delta V_{\mathrm{tr}}}$$

# Equilíbrio univariante metaestável

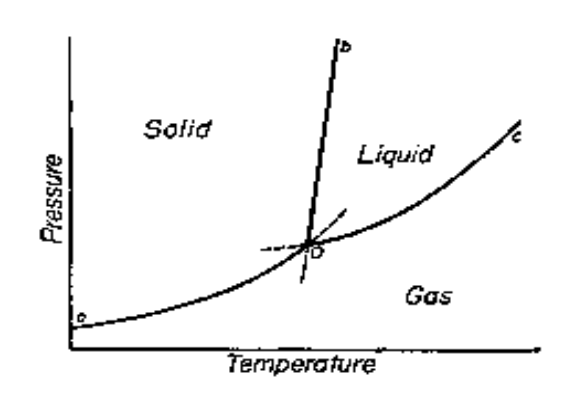
Exemplo: subresfriamento do equilíbrio L+G

A extensão de uma curva de equilíbrio bifásico para além do equilíbrio trifásico que a limita ocorre para dentro do campo de estabilidade da terceira fase não presente no equilíbrio bifásico.

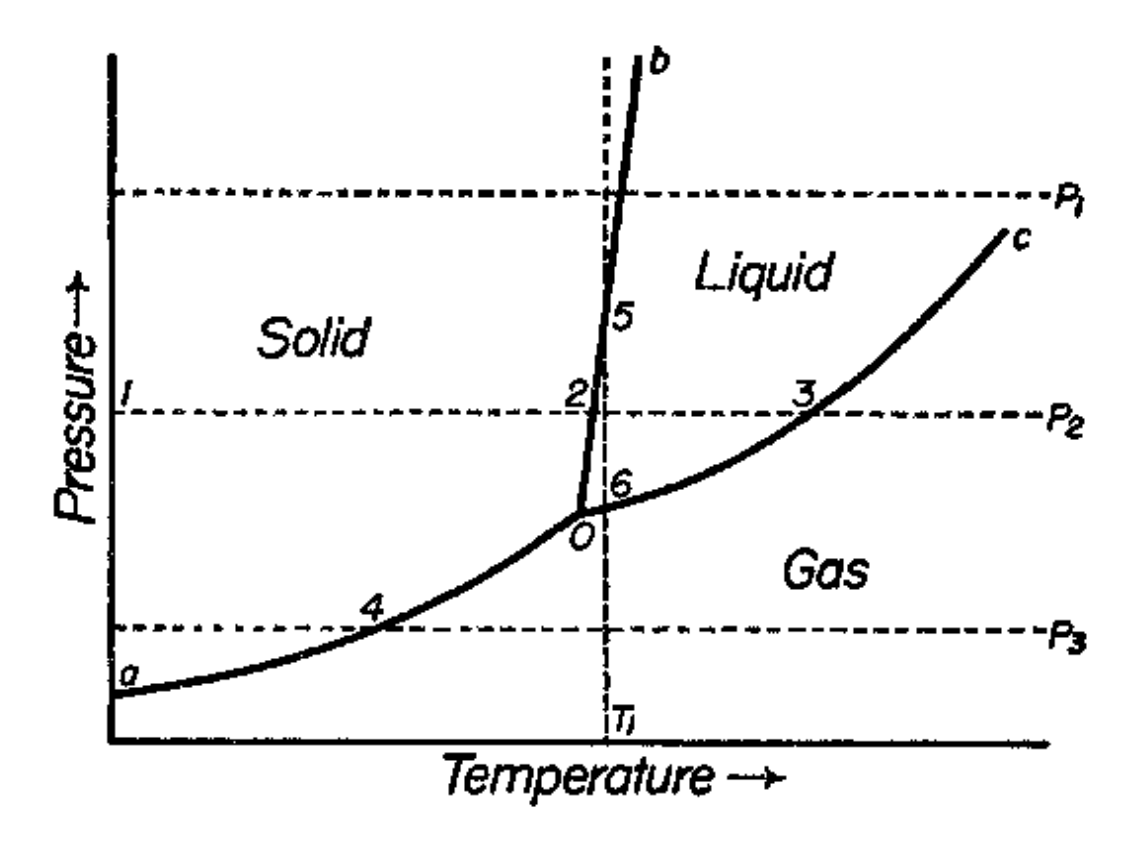
# 8.3 - Equilíbrio Bivariante (F = 2)

# Regra das fases

$$F = 2$$
 e  $C = 1$   
 $P + 2 = 1 + 2$   
 $P = 1$ 



# 9 - Interpretação de diagramas unários



Metal	As	Ba	Ca	Cu	Fe	Pb
T (°C)	814	704	850	1083	1535	327
P (atm)	36	1.10 <sup>-3</sup>	$1.10^{-4}$	<b>8.10</b> <sup>-7</sup>	5.10 <sup>-5</sup>	1.10 <sup>-7</sup>

Metal	Mn	Hg	Ni	Pt	Ag	Zn
\ /		-38,87				
P (atm)	1.10 <sup>-3</sup>	1.10-9	1.10-4	1.10 <sup>-6</sup>	$1.10^{-4}$	5.10 <sup>-2</sup>

